

УДК 541.49: 546.814. 131 : 547.288.3

**Н. В. Шматкова<sup>1</sup>, И. И. Сейфуллина<sup>1</sup>, А. И. Александрова<sup>2</sup>,  
И. А. Кравченко<sup>2</sup>, А. А. Коберник<sup>2</sup>**

Одесский национальный университет им. И. И. Мечникова

<sup>1</sup>кафедра общей химии и полимеров, ул. Дворянская, 2, Одесса, 65026.

e-mail: nshmatkova@ukr.net

<sup>2</sup>кафедра фармацевтической химии**О НОВЫХ КОМПЛЕКСАХ ОЛОВА(IV) С 5-БРОМ-САЛИЦИЛОИЛ-ГИДРАЗОНАМИ ЗАМЕЩЁННЫХ БЕНЗОЙНОГО АЛЬДЕГИДА**

Взаимодействием  $\text{SnCl}_4$  с 5-бром-салицилоилгидразонами 4-R-бензальдегидов (5-Br-2-OH-HB-4R-b) в ацетонитриле получены комплексы  $[\text{SnCl}_4(5\text{-Br-2-OH-HB-4R-b})]$  ( $\text{R} = \text{OCH}_3$  (I), Br(II) и  $[\text{SnCl}_4(5\text{-Br-2-OH-B-4R-b-H})]$  ( $\text{R} = \text{N}(\text{CH}_3)_2$  (III)). В комплексах реализуется бидентатная  $\text{O}_{(\text{C}=\text{O}/\text{C}-\text{O})}$ ,  $\text{N}_{(\text{CH}=\text{N})}$  – координация кетонной (I, II) или енольной, протонированной по третичному атому азота альдегидного фрагмента формы лиганда (III). Исследована их противовоспалительная активность на модели асептического каррагинан-индуцированного отека.

**Ключевые слова:** противовоспалительная активность, олово (IV),  $\text{SnCl}_4$ , гидразоны, координационные соединения.

Настоящая работа является продолжением исследований [1, 2], связанных с разработкой методик синтеза, определения строения, свойств, в том числе биологических, комплексов тетраоксида олова с продуктами конденсации гидразида салициловой кислоты, которая широко используется при производстве антисептиков, антиревматических и др. средств [3], и замещённых бензальдегида. Ранее нами были синтезированы комплексы олова (IV) состава  $[\text{SnCl}_4(2\text{-OH-HB-Rb})]$  (1, 2) и  $[\text{SnCl}_4(2\text{-OH-B-Rb-H})]$  (3), где 2-OH-HB-Rb – салицилоилгидразоны R-замещённых бензальдегида:  $\text{R} = 4\text{-OCH}_3$  (1), 4-Br (2), 4- $\text{N}(\text{CH}_3)_2$  (3) [1, 2]. Установлено, что при замене R в альдегидном фрагменте молекулы гидразона (L) мольное соотношение  $\text{Sn} : \text{Cl} : \text{L} = 1 : 4 : 1$  в комплексах сохраняется, реализуется одинаковая бидентатная O, N– координация лиганда, при этом меняется форма гидразона: кетонная (1, 2) и енольная (3). Соединения 1-3 устойчивы на воздухе, относятся к неэлектролитам, характеризуются практически одинаковым процессом термораспада. Более тонкие различия были обнаружены при исследовании их противовоспалительной активности: наиболее эффективным оказался комплекс (2), его пероральное введение на фоне модельного асептического каррагинан-индуцированного отека приводило к интенсивному снижению воспаления по сравнению с используемыми в медицинской практике салициловой кислотой и ибупрофеном [2]. Полученные данные свидетельствовали в пользу перспективности поиска новых противовоспалительных средств среди координационных соединений олова (IV), в первую очередь с бром-замещёнными гидразонами.

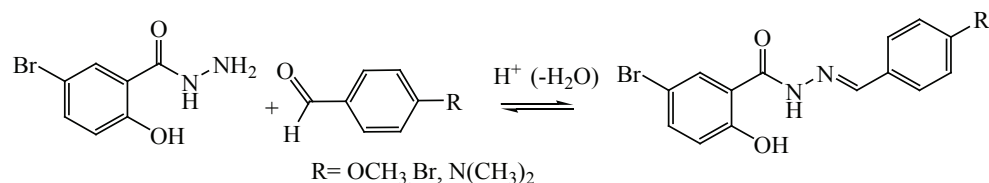
Интерес представляло выяснить, как скажется введение брома в молекулу салициловой кислоты на состав, строение и, следовательно, противовоспалительную активность образующихся комплексов олова (IV) с рассматриваемыми гидразонами. Таким образом, была сформулирована цель данной работы: расширить ряд исследуемых комплексов, получить координационные соединения

тетрахлорида олова на основе продуктов конденсации гидразидов 5-бром-салициловой кислоты с 4-R-бензальдегидами (R = OCH<sub>3</sub>, Br, N(CH<sub>3</sub>)<sub>2</sub>) и всесторонне их охарактеризовать.

### ЭКСПЕРИМЕНТАЛЬНАЯ ЧАСТЬ

В работе использовали SnCl<sub>4</sub> «осч» (ρ = 2,232 г/мл), гидразид 5-бром-2-гидроксibenзойной кислоты «ч», *para*-метоксибензальдегид (ρ = 1,119 г/мл) «хч», *para*-бромбензальдегид «хч», *para*-диметиламинобензальдегид «хч», органические растворители «осч».

5-бром-салицилоилгидразоны 4-R-бензальдегидов (5-Br-2-OH-HB-4R-b, R = OCH<sub>3</sub>, Br, N(CH<sub>3</sub>)<sub>2</sub>) синтезировали в соответствии с общей методикой, приведенной в [4], по схеме:



Полученные продукты представляли собой кристаллические вещества белого (R = OCH<sub>3</sub>, Br) и жёлтого (R = N(CH<sub>3</sub>)<sub>2</sub>) цветов. Их чистоту контролировали методом ТСХ на пластинках Silufol UV-254 в элюенте хлороформ : метанол = 20 : 1. Тпл., °С (выход, %): 248 (98,5), 258 (96), 250 (95) для R = OCH<sub>3</sub>, Br, N(CH<sub>3</sub>)<sub>2</sub>.

Комплексы [SnCl<sub>4</sub>(5-Br-2-OH-HB-4R-b)], где R = OCH<sub>3</sub> (I), Br (II) и [SnCl<sub>4</sub>(5-Br-2-OH-B-4R-b-H)], где R = N(CH<sub>3</sub>)<sub>2</sub> (III) синтезировали прибавлением SnCl<sub>4</sub> к горячей взвеси гидразона (1:1) в ацетонитриле. Образующиеся растворы выдерживали при 50-55 °С до прекращения выделения из них белого дыма, при этом в случае I наблюдалось образование кристаллического осадка. Раствор II оставляли для изотермического испарения при 35-40 °С до уменьшения объема растворителя в 2 раза. Затем для полноты осаждения все реакционные смеси оставляли на 0,5 (I) и 2 часа (II, III) при комнатной температуре. Осадки отделяли на фильтре Шотта, промывали ацетонитрилом (I) или смесью ацетонитрил : диэтиловый эфир = 1:1 (II), 1:2 (III), а затем сушили при 80 °С до постоянной массы. Выход 82, 92, 87 % для I-III.

*Содержание* азота определяли по методу Дюма [5], суммарное содержание галогена (хлор, бром (Gal) – меркурометрически [5], олова – комплексонометрически [6]. *Молярную электропроводность* (λ) 0,001 М растворов в нитробензоле и ДМФА измеряли на кондуктометре «Эксперт-002» при 25 °С, тип электролита определяли в соответствии с таблицами [7]. Результаты анализа и значения (λ) растворов приведены в табл.1.

*ИК спектры* поглощения (400-4000 см<sup>-1</sup>) гидразонов и комплексов, таблетированных с KBr, записывали на спектрометре Shimadzu FTIR-8400S. *Термическую устойчивость* изучали в платиновых тиглях на дериватографе Q-1500 D Paulik-Paulik-Erdey в воздушной среде в интервале 20-1000 °С (скорость нагревания – 10 град/мин, чувствительность ДТА и ДТГ – 1/5 максимальной, эталон – Al<sub>2</sub>O<sub>3</sub>, навеска образца 70 мг).

Таблица 1

Результаты элементного анализа и значения ( $\lambda$ ) растворов комплексов (I-III).

№	Вычислено, %			Валовый состав	Найдено, %			$\lambda$ , $\text{Ом}^{-1} \times$ $\text{см}^2 \times \text{моль}^{-1}$ нитробензол / ДМФА
	Sn	Gal	N		Sn	Gal	N	
(I)	19,50	36,46	4,60	$\text{C}_{15}\text{H}_{12}\text{N}_2\text{O}_3\text{Br Cl}_4\text{Sn}$	19,41	36,51	4,66	3,3 / 34,0
(II)	18,05	45,90	4,26	$\text{C}_{14}\text{H}_9\text{N}_2\text{O}_2\text{Br}_2 \text{Cl}_4\text{Sn}$	18,04	45,83	4,46	4,0 / 31,0
(III)	19,06	35,60	6,75	$\text{C}_{16}\text{H}_{16}\text{N}_3\text{O}_2\text{Br Cl}_4\text{Sn}$	19,11	35,65	6,64	3,0 / 28,0

Противовоспалительная активность новых комплексных соединений (I-III) изучалась на модели каррагинан-индуцированного воспаления [8]. В качестве флоггенного агента использовался 0,2 % раствор каррагинана, который вводился (0,2 мл) в заднюю конечность крысы (четыре группы животных). После развития воспаления трём группам животных перорально вводились в твиновой эмульсии исследуемые соединения. Доза рассчитывалась исходя из одинакового содержания остатка салициловой кислоты в их молекулах (для салициловой кислоты – 40 мг/кг) [9]. Противовоспалительное действие соединений оценивали по изменению морфологического показателя – ширины пораженной конечности животных. Полученные данные рассчитывали в % по сравнению с соответствующими показателями в группе интактных животных.

### ОБСУЖДЕНИЕ РЕЗУЛЬТАТОВ

При взаимодействии  $\text{SnCl}_4$  с 5-бром-салицилоилгидами 4-R-бензальдегидов в ацетонитриле были получены комплексы, которые в соответствии с результатами элементного анализа и электропроводности в разных по донорной способности растворителях (нитробензоле ( $\text{DN}_{\text{SbCl}_5} = 4.4$ ) и ДМФА ( $\text{DN}_{\text{SbCl}_5} = 26.6$ )), являются неэлектролитами [7] одинакового состава с мольным соотношением Sn : гидразон : Cl = 1:1:4 (табл. 1):  $[\text{SnCl}_4(5\text{-Br-2-OH-NB-4R-b})]$  (R =  $\text{OCH}_3$  (I), Br(II) и  $[\text{SnCl}_4(5\text{-Br-2-OH-B-4R-b-H})]$  (R =  $\text{N}(\text{CH}_3)_2$  (III)). Они представляют собой кристаллические вещества, хорошо растворимые в ДМФА, ДМСО, нитробензоле и среднерастворимые в ацетонитриле (II).

Анализ термограмм комплексов I-III показал, что их термолиз имеет ряд отличий. Термораспад I, III протекает практически однотипно в две стадии, а II – в три стадии. По данным элементного анализа продукт изотермического закаливания I при температуре начала первой стадии термораспада (280 °C) содержал Sn и Br в мольном соотношении равным 1:1. Это свидетельствовало о том, что на этой стадии в интервале температур 280–320 °C (280↓, 310↑) происходит элиминация в газовую фазу в случае I всех хлоридных ионов ( $\Delta m$  по ТГ = 23,3 /  $\Delta m$  (–4Cl) = 23,9 %), а для III, с учётом расчетов по термогравиметрической кривой (ТГ), только трёх – ( $\Delta m$  по ТГ = 16,1 /  $\Delta m$  (–3Cl) = 16,9 %). При этом на кривых ДТА соответствующих термограмм наблюдается эндо-эффект, переходящий в экзо-. На второй стадии термолиза I, III происходит значительная убыль массы ~ 65,0 (I), 66,1% (III) в интервалах 320-770 °C (540↑, 680↑, 730↑) (I) и 325-720 °C (500↑, 680↑) (III),

которая сопровождается экзо-эффектами окислительной термодеструкции органической части их молекул.

Выводы о характере термораспада II, в связи с отсутствием термически устойчивых фаз, были сделаны на основании расчётов по ТГ, сравнения его термогравиграммы и соответствующего гидразона (5-Br-2-OH-HB-4Br-b). По всей вероятности, первая стадия термоллиза II в интервале 160-210(200↓) сопровождается удалением хлора ( $\Delta m$  по ТГ = 16,9 /  $\Delta m$  (-3Cl) = 15,6 %), что, однако, происходит при относительно низкой для этого процесса температуре. Вторая стадия в интервале 210-330 °С (270↓, 320↑) сопровождается убылью массы по ТГ 33,0 %.

Характерно, что температурные интервалы второй стадии термораспада II и первой для I, III достаточно близки, однако, в случае II происходит удаление не только хлоридного, но и двух бромидных ионов. В пользу этого свидетельствует тот факт, что термоллиз соответствующего гидразона (5-Br-2-OH-HB-4Br-b) в интервале 290-320 °С (290↓, 310↑) сопровождается полным удалением двух бромидных ионов, что доказано в результате анализа продукта его изотермического выдерживания при 290 °С. Третья стадия термоллиза II, в отличие от I, III, сопровождается убылью массы ~ 37,0 % и одним экзо-эффектом окислительной термодеструкции органической части его молекулы в интервале 330-670 °С (620↑).

Общим для термоллиза I-III является то, что масса остатка по ТГ для них на 12-14 % меньше теоретически рассчитанной для SnO<sub>2</sub> за счёт удаления летучих оловосодержащих частиц на второй стадии термоллиза I, III и на третьей II, что характерно для хлоридных комплексов олова (IV) [1, 10, 11].

Способ координации гидразона в I-III определяли методом ИК-спектроскопии, сравнением их спектров со спектрами соответствующих гидразонов с использованием [12-15]. Характеристические частоты колебаний основных функциональных групп, ответственных за образование связей с комплексообразователем, приведены в табл. 2.

Таблица 2

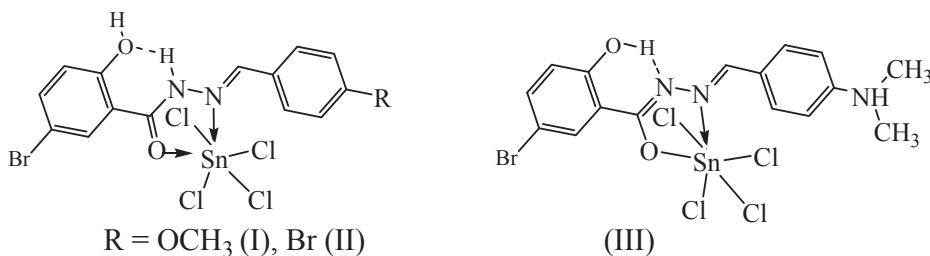
Данные ИК-спектров гидразонов и комплексов I – III

Соединение	$\nu(\text{OH})$	$\nu(\text{NH})$	$\nu(\text{CH})$	$\nu(\text{C=O})$	$\nu(\text{C=N})$	$\delta(\text{CH})$	$[\delta(\text{NH}) + \delta(\text{NCO})]$	$\nu(\text{Sn-N})$	$\nu(\text{Sn-O})$
2OH-5Br- HB-4OCH <sub>3</sub> b	3429	3268	3075	1659 оч.сл.	1631	1609, 1575, 1487	1561		
(I)	3433	3237	3077	1653	1621	1593, 1481	1550 1529	571	478
2OH-5Br- HB-4Brb	3435	3251	3069	1657	1634	1594, 1488	1554		
(II)	3434	3240	3065	1648	1628	1594, 1481	1571 1540	565	469
2OH-5Br- HB- 4N(CH <sub>3</sub> ) <sub>2</sub> -b	3440	3262	3060	1651	1629	1600, 1486	1555		
(III)	3431	-	3096	-	1620	1604, 1508	-	568	482

Сохранение значения частоты валентных колебаний гидроксильной группы  $\nu(\text{OH})$  гидразидного фрагмента в спектрах всех комплексов таким же, как и в исходных гидразонах, позволяет заключить, что она остаётся вакантной и участвует только во внутримолекулярной водородной связи  $\text{HO}\dots\text{H-N}$  (I, II) и  $\text{OH}\dots\text{N}$  (III), что ранее было отмечено для комплексов (1) и (3) [2]. При этом, полоса  $\nu(\text{C}=\text{N})$  азометиновой группы в спектрах I-III претерпевает низкочастотное смещение вследствие её участия в связывании с атомом олова.

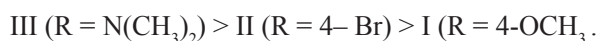
Характерно, что ИК спектр III существенно отличается от остальных: отсутствуют полосы  $\nu(\text{NH})$  и  $\nu(\text{C}=\text{O})$ , а также смешанных колебаний  $[\delta(\text{NH}) + \delta(\text{NCO})]$ , что может быть вызвано только изменением координированной формы гидразона (с кетонной на енольную). Следует отметить, что в ИК спектрах I, II это не наблюдается, происходит смещение в низкочастотную область  $\nu(\text{NH})$  и  $\nu(\text{C}=\text{O})$  и расщепление колебаний  $[\delta(\text{NH}) + \delta(\text{NCO})]$ , которые можно объяснить вовлечением в координацию  $\text{C}=\text{O}$ -группы с сохранением кетонной формы лиганда [1, 2].

Из приведенных данных следует, что образование комплексов I-III сопровождается замыканием пятичленных металлоциклов с участием указанных выше групп, что подтверждается появлением в их спектрах новых частот  $\nu(\text{Sn}-\text{O})$  и  $\nu(\text{Sn}-\text{N})$  [11, 13, 14]. С учётом наличия четырёх ионов хлора в составе молекулы III, енольной формы гидразона, отсутствия внешней сферы и электронейтральности комплекса в целом, для него может быть предложена цвиттер-ионная структура, подобная описанной в [1, 2, 10] с протонированным атомом азота диметиламинного фрагмента. Соединения I, II представляют собой молекулярные комплексы тетрахлорида олова с кетонной формой гидразонов. Соответственно для них предложены следующие схемы строения:



Исследование противовоспалительной активности комплексных соединений I-III на модели асептического каррагинан-индуцированного отёка показало, что указанное действие оказывают все соединения (рис. 1).

Так, комплексы I, II через сутки после их перорального введения снижают воспалительный процесс на 44 %, а III уменьшает ширину конечности на 35 % относительно животных, которым терапия не проводилась. Однако, на пятые сутки терапии соединения III максимально уменьшает данный показатель и выходит на уровень показателя интактных животных – 100 % (контроль). Соединение II достигает этого показателя на шестой день эксперимента, а соединение I – на седьмой. Таким образом, конечная активность по данному морфологическому показателю, уменьшается в ряду:



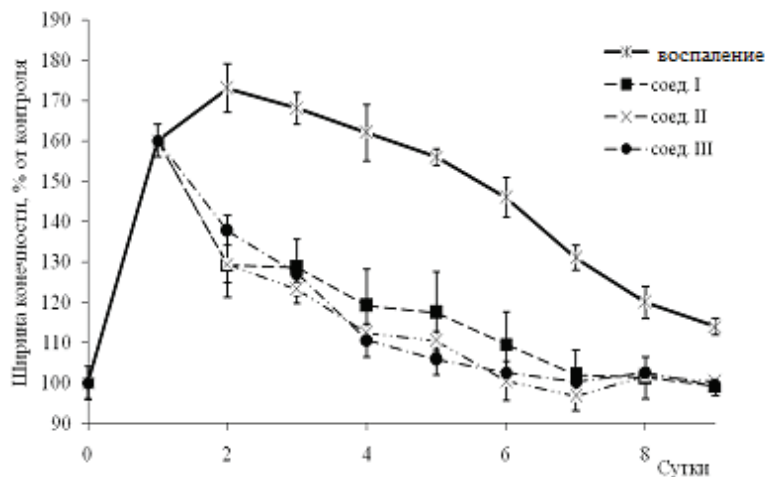


Рис. 1. Изменение ширины пораженной конечности крыс при пероральном введении комплексов I-III.

Сравнение активности комплексов с одинаковыми заместителями (R) в альдегидном фрагменте: новых I-III и ранее полученных с салицилоилгидразонами (1-3) показало, что I, III проявляют более выраженный противовоспалительный эффект по сравнению с (1), (3) соответственно. Соединение II, наоборот, уступает по активности (2).

Таким образом, введение дополнительного атома брома в гидразидный фрагмент лиганда только в случае комплексов I ( $R = 4\text{-OCH}_3$ ) и III ( $R = 4\text{-N}(\text{CH}_3)_2$ ), демонстрирует усиление их противовоспалительной активности и уменьшение времени достижения ширины пораженной конечности крыс до уровня интактных животных по сравнению с (1), (3). Это указывает на то, что максимальный эффект достигается только при определённом сочетании заместителей, как в гидразидном, так и в альдегидном фрагментах.

Проведенные исследования подтвердили возможность получения новых координационных соединений олова (IV) с большей фармакологической активностью путём введения новых заместителей в структуры их молекул [16]. Рассмотренные соединения можно рекомендовать для углубленных клинических испытаний в качестве противовоспалительных препаратов.

## ЛИТЕРАТУРА

1. Шматкова Н.В. Продукты взаимодействия  $\text{SnCl}_4$  с R-бензоилгидразонами бенз-(p-N,N-диметиламинобенз-)альдегидов в ацетонитриле / Н.В. Шматкова, И.И. Сейфуллина, В.Г. Согомонян, С.Э. Самбурский // Вісник ОНУ. Хімія. – 2010. – Т. 15, №3. – С.77-84.
2. Шматкова Н.В. Комплексы [тетрахлоро-(N-4-R-бензилиден-салицилоилгидразинато-N, O)олова (IV)] ( $R = \text{OCH}_3, \text{Br}, \text{N}(\text{CH}_3)_2$ ) и их противовоспалительная активность / Н.В. Шматкова, И.И. Сейфуллина, А.И. Александрова, А.В. Полищук. // Вісник ОНУ. Хімія. – 2013. – Т. 18, №2 (46). – С.16-24.
3. *Нестероидные обезболивающие противовоспалительные средства*: Пер. с англ. / Под ред. Трещинского А.И. – К.: ВШ. – 1996. – 128 с.
4. Gunjan J. Synthesis, spectral and biological evaluation of some hydrazone Derivatives / Gunjan J., Kumawat L. // International J. Pharmaceutical Sci. Res. – 2011. – Vol. 2.– № 9. – P. 2408-2412.

5. Ключников Н.Г. Руководство по неорганическому синтезу / Н.Г. Ключников – М.: Химия, 1965. – 104 с.
6. Спиваковский В.Б. Аналитическая химия олова / В.Б. Спиваковский – М.: Наука – 1975. – 245с.
7. Geary W.J. The use of conductivity measurements in organic solvents for the characterisation of coordination compounds / W.J. Geary // Coord. Chem. Rev. – 1971. – № 7. – P. 81-122.
8. Morris C.J. Carrageenan-induced paw edema in the rat and mouse / C.J. Morris // Methods Mol. Biol. – 2003.– Vol. 225. –P. 115-121.
9. Буреш Я. Методики и основные эксперименты по изучению мозга и поведения / Я. Буреш, О. Бурешова, Д.П. Хьюстон: пер с англ. – М.: Мир. – 1991. – 268 с.
10. Шматкова Н.В. Продукты взаимодействия  $\text{SnCl}_4$  с нафтоил-(3-гидрокси-2-нафтоил)гидразами бензойного и 4-N,N-диметиламинобензойного альдегидов / Н.В. Шматкова, И.И. Сейфуллина, В.Г. Согомонян // Вопросы химии и хим. технологии – 2011. – №5. – С. 101-105.
11. Sedaghat T. Some New Organotin(IV) Schiff Base Adducts: Synthesis, Spectroscopic Characterization and Thermal Studies/ T. Sedaghat, M. Monajjemzadeh // J. Iran. Chem. Soc. – 2011. – Vol. 8, № 2. – P. 477-483.
12. Наканиси К. Инфракрасные спектры и строение органических соединений / К. Наканиси – М.: Мир, 1965. – 216 с.
13. Dutta R.L. Coordination chemistry. Chemistry of acyl, aroyl, heteroaroylhrazones and related ligands / Dutta R.L., Hossain Md. Munkir // J. of Scientific and Ind. Research. – 1985. – Vol.44. – P.635-674.
14. Min Hong. Synthesis and structural characterization of organotin(IV) compounds derived from the self-assembly of hydrazone Schiff base series and various alkyltin salts/ Min Hong, Han-Dong Yin, Shao-Wen Chen, Da-Qi Wang. // J. Organomet. Chem. – 2010. – Vol. 695, №5. – P.653-662.
15. Туйебахова З.К. Колебательные спектры салициловой кислоты и салицилаты кобальта(II), никеля (II), марганца (II), цинка и кадмия: Автореф. Дис... канд. хим. наук: 02.00.04 / Москва, 1984. – 197 с.
16. Баренбойм Г. М. Биологически активные вещества. Новые принципы поиска / Баренбойм Г. М., Маленков В. Г. – М.: Наука, 1986. – 363 с.

Стаття надійшла до редакції 25.08.13

**Н. В. Шматкова<sup>1</sup>, І. Й. Сейфулліна<sup>1</sup>, О. І. Олександрова<sup>2</sup>,  
І. А. Кравченко<sup>2</sup>, А. А. Коберник<sup>2</sup>**

Одеський національний університет імені І.І. Мечникова,  
вул. Дворянська, 2, 65026, Одеса

<sup>1</sup>кафедра загальної хімії та полімерів, e-mail: nshmatkova@ukr.net

<sup>2</sup>кафедра фармацевтичної хімії

## ПРО НОВІ КОМПЛЕКСИ СТАНУМУ(IV) З 5-БРОМ-САЛІЦИЛОЇЛ-ГІДРАЗОНАМИ ЗАМІЩЕНИХ БЕНЗОЙНОГО АЛЬДЕГІДУ

Взаємодією  $\text{SnCl}_4$  з 5-бром-салицилолгидразами 4-R-бензальдегідів (5-Br-2-ОН-НВ-4R-b) в ацетонітрилі отримано комплекси  $[\text{SnCl}_4(5\text{-Br-2-ОН-НВ-4R-b})]$  (R =  $\text{OCH}_3$  (I), Br(II) и  $[\text{SnCl}_4(5\text{-Br-2-ОН-В-4R-b-H})]$  (R =  $\text{N}(\text{CH}_3)_2$  (III)). У комплексах реалізується бідентатна  $\text{O}_{(\text{C=O}/\text{C-O})}$ ,  $\text{N}_{(\text{CH=N})}$  – координація кетонної (I, II) або енольної, протонованої по третичному атому Нітрогену альдегідного фрагменту форми ліганду (III). Досліджено протизапальну активність (I-III) на моделі асептичного каррагінан-індукованого набряку.

**Ключові слова:** протизапальна активність, станум (IV),  $\text{SnCl}_4$ , гідразони, координаційні сполуки.

**N. V. Shmatkova<sup>1</sup>, I. I. Seifullina<sup>1</sup>, A. I. Alexandrova<sup>2</sup>,**

**I. A. Kravchenko<sup>2</sup>, A. A. Kobernik<sup>2</sup>**

Odessa National University, Dvoryanskaya St., 2, Odessa, 65026

<sup>1</sup> Department of general chemistry and polymers,

e-mail: nshmatkova@ukr.net

<sup>2</sup> Department of Pharmaceutical Chemistry

### ABOUT NEW COMPLEXES TIN (IV) WITH 5– BROM SALICYLOYLHYDRAZONES OF SUBSTITUTED OF BENZALDEHYDE

The complexes  $[\text{SnCl}_4(5\text{-Br-2-OH-HB-4R-b})]$  ( $\text{R} = \text{OCH}_3$  (I), Br(II) and  $[\text{SnCl}_4(5\text{-Br-2-OH-B-4R-b-H})]$  ( $\text{R} = \text{N}(\text{CH}_3)_2$  (III)) were obtained by interaction of  $\text{SnCl}_4$  with 5– brom-salicyloylhydrazones 4–R– benzaldehydes (5-Br-2-OH-HB-4R-b) in acetonitrile. In the complexes is realized bidentate  $\text{O}_{(\text{C}=\text{O} \cdot \text{C}-\text{O})}$ ,  $\text{N}_{(\text{CH}=\text{N})}$  – coordination of ketone (I, II) or the enol, the protonated tertiary nitrogen atom of the aldehyde fragment form of the ligand (III). It was studied the anti-inflammatory activity of (I-III) in model of aseptic carrageenan induced swelling.

**Keywords:** anti-inflammatory activity, tin (IV),  $\text{SnCl}_4$ , hydrazones, coordination compounds.